

КОГЕРЕНТНОСТЬ ПОЛЕЙ

Когерентность – мера сходства двух полей

Описание интерференции полей

$$E_1 = E_1(t, \mathbf{r})$$

$$I \propto |E_1 + E_2|^2 = E_1 E_1^* + E_2 E_2^* + \underbrace{E_1 E_2^* + E_1^* E_2}_{\text{интерференционное слагаемое}}$$

$$E_2 = E_2(t, \mathbf{r})$$

Интерференция есть всегда

Когерентность = условие стационарной интерференции

$$\overline{E_1 E_2^*} \neq 0$$

поля когерентны и
интерференцию просто наблюдать

$$\overline{E_1 E_2^*} = 0$$

поля некогерентны,
требуется быстрый отклик средства наблюдения


КОГЕРЕНТНОСТЬ ПОЛЕЙ


Когерентность – мера сходства двух полей

- Оценка объема, в котором поля схожи;
- Оценка условий стационарной интерференции полей;
- и др.

Функция когерентности двух полей:

$$\gamma(E_1, E_2) = \frac{\overline{E_1 E_2^*}}{\sqrt{|E_1|^2 \times |E_2|^2}}$$

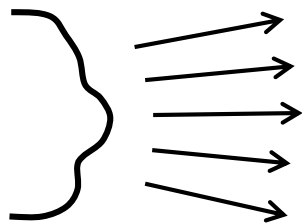
$$E_1 = E_1(t_1, \mathbf{r}_1)$$


$$E_2 = E_2(t_2, \mathbf{r}_2)$$


Одинаковые поля: $|\gamma| = 1$, т.е. поля *когерентны*

Статистически разные поля: $\gamma = 0$, т.е. поля *некогерентны*

Когерентность полей одного источника



источник излучения

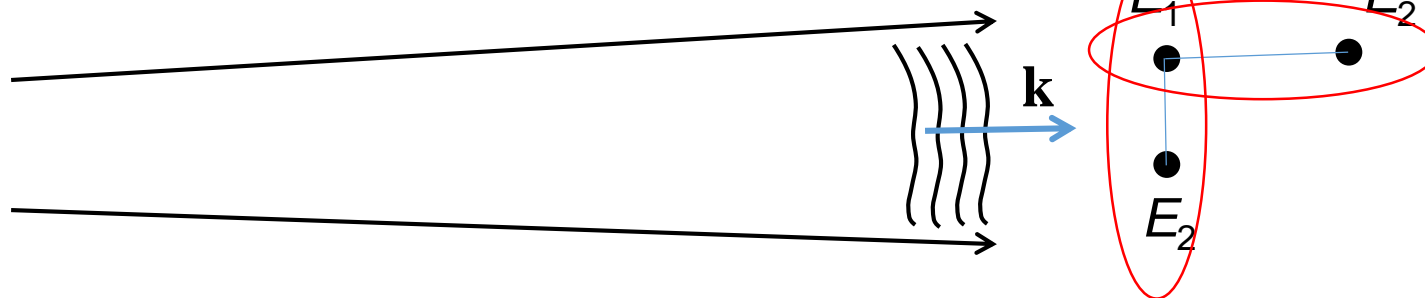
$$E_1 = E(t_1, \mathbf{r}_1)$$



$$E_2 = E(t_2, \mathbf{r}_2)$$

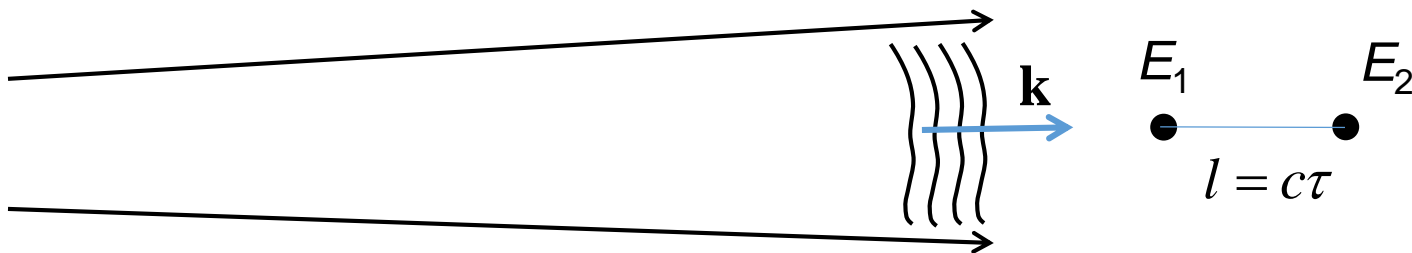
$$\gamma(E_1, E_2) = ?$$

Вдали от источника



Продольная и поперечная когерентность

Продольная когерентность = временная когерентность



$$\gamma(\tau) = \frac{\overline{E(t)E^*(t-\tau)}}{\overline{|E(t)|^2}} = \frac{1}{\overline{I}} \overline{E(t)E^*(t-\tau)}$$

\overline{I} - средняя интенсивность

Теорема Винера-Хинчина для функции временной когерентности

Теорема Винера-Хинчина для функции временной когерентности

$$E(t) = \int s(\omega) e^{-i\omega t} d\omega \quad - \text{спектральное разложение поля}$$

$$s(\omega) \quad - \text{амплитудный спектр излучения}$$

$$S(\omega) = |s(\omega)|^2 \quad - \text{энергетический спектр излучения}$$

доступен с помощью
спектральных приборов

$$\begin{aligned} \gamma(\tau) &= \frac{1}{I} \overline{E(t) E^*(t - \tau)} = \\ &= \frac{1}{I} \lim_{T \rightarrow \infty} \int_0^T \left(\int s(\omega_1) e^{-i\omega_1 t} d\omega_1 \right) \left(\int s^*(\omega_2) e^{i\omega_2(t-\tau)} d\omega_2 \right) dt = \\ &= \frac{2\pi}{I} \iint e^{-i\omega_2 \tau} s(\omega_1) s^*(\omega_2) \delta(\omega_1 - \omega_2) d\omega_1 d\omega_2 = \\ &= \frac{2\pi}{I} \int e^{-i\omega \tau} |s(\omega)|^2 d\omega \equiv \frac{2\pi}{I} \int e^{-i\omega \tau} S(\omega) d\omega \end{aligned}$$

Теорема Винера-Хинчина

$$\gamma(\tau) = \frac{1}{T} \overline{E(t)E^*(t-\tau)} = \frac{2\pi}{T} \int e^{-i\omega\tau} S(\omega) d\omega$$

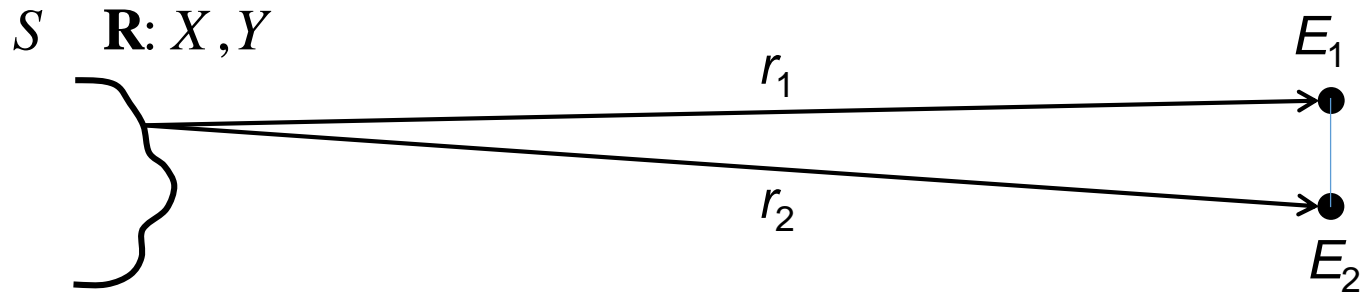
Функция временной когерентности есть Фурье-образ энергетического спектра излучения

- При распространении в свободном пространстве энергетический спектр не изменяется, т.е. неизменна и функция временной когерентности
- Свойства Фурье-образов хорошо известны:

$$S(\omega) = S_0 \exp \left\{ - \left(\frac{\omega - \omega_0}{\Delta\omega / 2} \right)^2 \right\} \quad \gamma(\tau) = \exp \left\{ - \left(\frac{\tau}{\tau_{\text{ког}} / 2} \right)^2 \right\} \quad \tau_{\text{ког}} = \frac{8}{\Delta\omega}$$

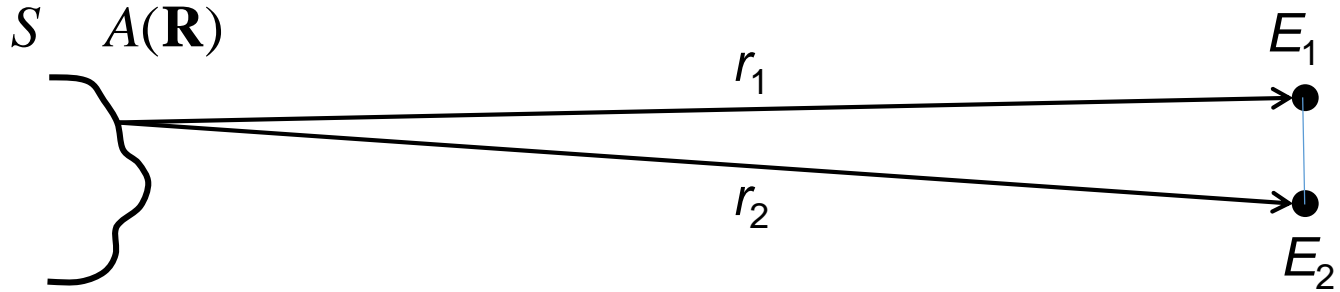
$$\text{Принимают: } \tau_{\text{ког}} \approx \frac{2\pi}{\Delta\omega} = \frac{1}{\Delta\nu [\text{Гц}]} \quad l_{\text{ког}} = c \cdot \tau_{\text{ког}}$$

Поперечная когерентность



Теорема ван Циттерта-Цернике для функции поперечной когерентности излучения нелазерных источников:

- лампы накаливания,
- газоразрядные лампы,
- Солнце, звезды
- люминесцентные лампы,
- светодиоды
- и пр.



$$E_1 \propto \int_S \frac{A(\mathbf{R}, t - r_1 / c)}{r_1} e^{-i\omega(t - r_1/c)} dS \quad r_1 = \sqrt{(X - x_1)^2 + (Y - y_1)^2 + (Z - z_1)^2}$$

$$E_2 \propto \int_S \frac{A(\mathbf{R}, t - r_2 / c)}{r_2} e^{-i\omega(t - r_2/c)} dS \quad r_2 = \sqrt{(X - x_2)^2 + (Y - y_2)^2 + (Z - z_2)^2}$$

$$\gamma(\mathbf{r}_1, \mathbf{r}_2) \propto \iint_{S S'} \left\langle A\left(\mathbf{R}, t - \frac{r_1}{c}\right) A^*\left(\mathbf{R}', t - \frac{r_2}{c}\right) \right\rangle e^{i\omega(r_1 - r_2)/c} \frac{dS}{r_1} \frac{dS'}{r_2}$$

$$\left\langle A\left(\mathbf{R}, t - \frac{r_1}{c}\right) A^*\left(\mathbf{R}', t - \frac{r_2}{c}\right) \right\rangle = I(\mathbf{R}) \delta^{(2)}(\mathbf{R} - \mathbf{R}')$$

$$\gamma(\mathbf{r}_1, \mathbf{r}_2) \propto \int_S I(\mathbf{R}) e^{i\omega(r_1 - r_2)/c} \frac{dS}{r_1 r_2} \approx \int_S I(\mathbf{R}) e^{i\omega(r_1 - r_2)/c} dS$$

$$\gamma(\mathbf{r}_1, \mathbf{r}_2) \propto \int_S I(\mathbf{R}) e^{i\omega(r_1 - r_2)/c} \frac{dS}{r_1 r_2} \approx \int_S I(\mathbf{R}) e^{i\omega(r_1 - r_2)/c} dS$$

$$r_1 = \sqrt{(X - x_1)^2 + (Y - y_1)^2 + (Z - z_1)^2} \approx (Z - z) + \frac{(X - x_1)^2 + (Y - y_1)^2}{2(Z - z)}$$

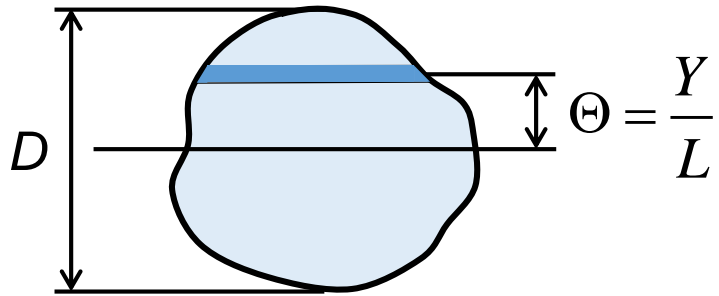
$$r_2 = \sqrt{(X - x_2)^2 + (Y - y_2)^2 + (Z - z_2)^2} \approx (Z - z) + \frac{(X - x_2)^2 + (Y - y_2)^2}{2(Z - z)}$$

$$r_1 - r_2 \approx \frac{X(x_2 - x_1)}{L} + \frac{Y(y_2 - y_1)}{L} \Rightarrow \frac{Y\rho}{L} \quad \rho = y_2 - y_1$$

$$\gamma(\mathbf{r}_1, \mathbf{r}_2) \propto \int_S I(\mathbf{R}) e^{i\omega Y \rho / Lc} dS$$

Функция поперечной когерентности есть Фурье-образ
энергетической яркости излучения на поверхности источника

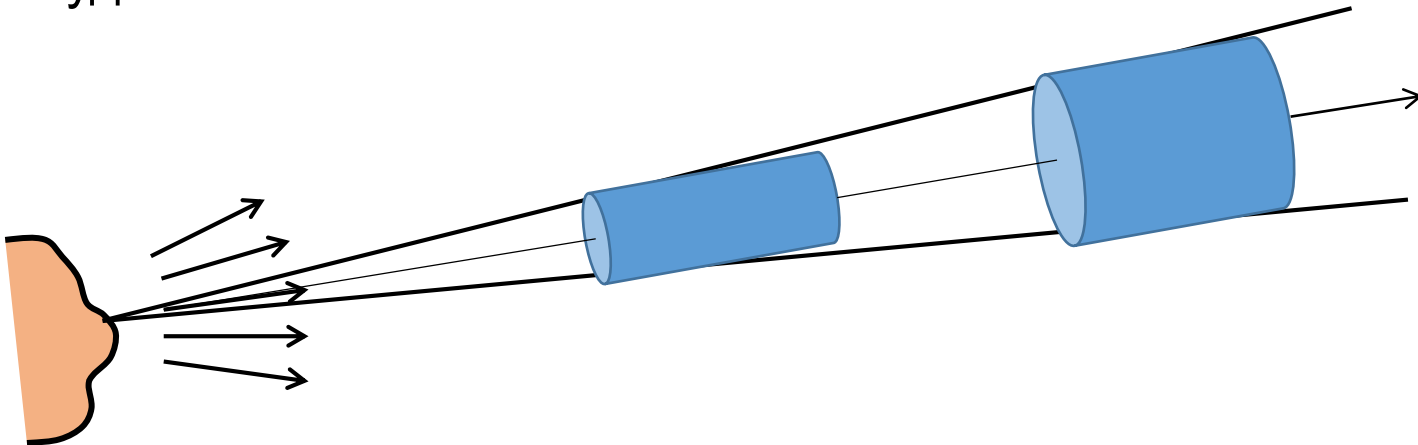
$$\gamma(\mathbf{r}_1, \mathbf{r}_2) \propto \int_S I(\mathbf{R}) e^{i\omega Y \rho / Lc} dS = \int_S I(\Theta) e^{2\pi i \Theta \rho / \lambda} d\Theta$$



$$\rho_{\text{ког}} \approx \frac{\lambda}{D} L$$

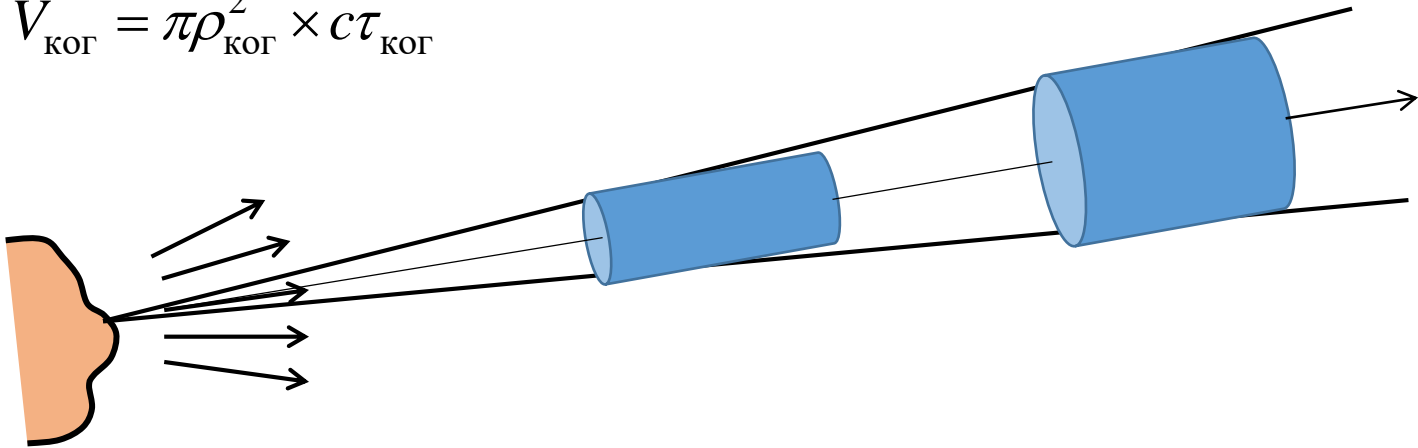
Вид источника из точки наблюдения

При распространении в свободном пространстве
радиус когерентности растет пропорционально
удалению от источника



Энергия в объеме когерентности неизменна

$$V_{\text{ког}} = \pi \rho_{\text{ког}}^2 \times c \tau_{\text{ког}}$$



Для лазеров: $\rho_{\text{ког}} \approx \frac{\lambda}{D} L$

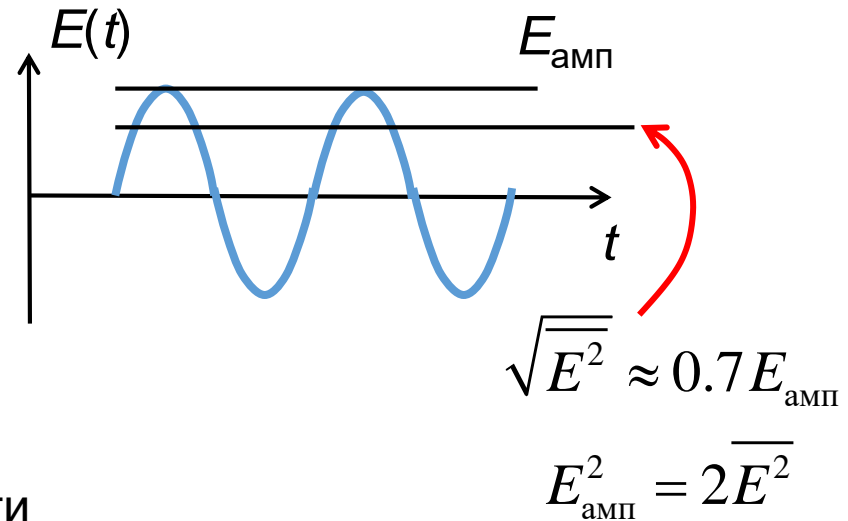
В чем отличие лазеров (= «когерентного» излучения)
от нелазерных источников (= «некогерентного» излучения)?

Связь напряженности электрического поля световой волны с интенсивностью излучения:

$\frac{\overline{E^2}}{4\pi}$ - объемная плотность энергии, Э + М

$$\frac{1}{4\pi} \int_V \overline{E^2} d^3r \approx \frac{\overline{E^2}}{4\pi} V_{\text{ког}} = n \hbar \omega$$

число фотонов
в объеме когерентности



$$E_{\text{амп}} \approx \sqrt{4\pi \frac{n \hbar \omega}{\sigma_{\text{ког}} c \tau_{\text{ког}}}} \approx \sqrt{\frac{4\pi}{c} I} \longrightarrow \{E_{\text{амп}}\}_{\text{СГСЭ}} \approx 0.065 \sqrt{I \left[\frac{\text{Вт}}{\text{см}^2} \right]}$$

$$\{E\}_{\text{СГСЭ}} = 3 \cdot 10^4 \{E\}_{\text{СИ}} \longrightarrow E_{\text{амп}} \left[\frac{\text{В}}{\text{м}} \right] \approx 19 \sqrt{I \left[\frac{\text{Вт}}{\text{м}^2} \right]}$$

Число фотонов в объеме когерентности излучения Солнца

$$\langle n \rangle = \frac{1}{e^{\hbar\omega/kT} - 1}$$

длина волны 500 нм

энергия фотона $4 \cdot 10^{-19}$ Дж

температура 6000 К

среднее число фотонов 0.008

Число фотонов в объеме когерентности импульса
лазерного излучения в 0.01 Дж

$$n = \frac{10^{-2}}{4 \cdot 10^{-19}} \approx 2.5 \cdot 10^{16}$$

Напряженность электрического поля в световой волне ...

$$\frac{1}{4\pi} |E|^2 V_{\text{ког}} = n \hbar \omega$$

$$\frac{E_{\text{лаз}}}{E_{\text{солн}}} \approx \sqrt{\frac{2.5 \cdot 10^{16} / (\sigma c \times 10^{-8} [\text{с}])}{0.008 / (\sigma c \times 4 \cdot 10^{-15} [\text{с}])}} \sim 10^6$$

Материал:

М.Борн, Э.Вольф. Основы оптики. М., «Наука», 1970
Раздел 10.4.2, стр. 551

Темы для самостоятельного повторения/изучения:

- Спектральное представление функций: преобразование Фурье, прямое и обратное соотношения;
- Дельта-функция, интеграл от экспоненты, обобщенные функции;
- Единицы поля CGSE и СИ.

Знать наизусть:

- оценочную формулы для времени когерентности через ширину спектра;
- оценочную формулу для радиуса когерентности через размер источника;
- формулы связи напряженности поля излучения с его интенсивностью.